

کاربرد آنالیز ترکیبی پینچ و اگزرزی در بهینه‌سازی انرژی و آلاینده‌ها در نیروگاه‌های حرارتی بخار

محمد حسن خوشگفتار منش^۱

m.khoshgoftar@qom.ac.ir

تاریخ پذیرش: ۹۶/۱۰/۲۰

تاریخ دریافت: ۹۶/۱/۱۶

چکیده

زمینه و هدف: توانایی تکنولوژی پینچ در ارایه یک روش کلی در طراحی و تحلیل فرایندها می‌باشد، ولی این تکنولوژی در تحلیل سیستم‌هایی که علاوه بر حرارت شامل توان نیز هستند ناتوان است. از طرف دیگر، آنالیز اگزرزی علاوه بر توانایی تحلیل سیستم‌های شامل حرارت و توان، این توانایی را دارد که قسمت‌های غیرموثر سیستم را شناسایی و بیشترین اصلاحات ممکن سیستم را تعیین کند.

روش بررسی: محدودیت اصلی آنالیز اگزرزی عدم ارایه یک روش جامع در طراحی سیستم است. آنالیز ترکیبی پینچ و اگزرزی^۱، که از ترکیب دو روش ذکر شده به دست می‌آید با استفاده از توانایی هر دو روش، محدودیت‌های هر دو روش را رفع می‌کند. در این مقاله سعی شده است، با معرفی نیروگاه رامین اهواز به عنوان نیروگاه مورد مطالعه، با استفاده از روش CPEA اصلاحات موثر شناسایی و مورد بررسی قرار گیرد.

یافته‌ها: سه سناریو اصلاحی پیشنهادی به منظور بهینه‌سازی نیروگاه مورد نظر استفاده شده است که عبارتند از: ۱- نزدیک کردن پینچ‌ها، ۲- افزایش بخار در بویلر^۲- کاهش فشار کندانسور.

بحث و نتیجه‌گیری: نتایج نشان می‌دهد امکان افزایش بازده نیروگاه مورد مطالعه در حدود ۱/۷ درصد افزایش با به کار بردن این روش وجود دارد. هم‌چنین میزان مصرف سوخت ۱۵۶۹ متر مکعب در ساعت و تولید گازهای خروجی در حدود ۱/۷ درصد (معدل ۲۰ تن بر ساعت) کاهش می‌یابد. لذا تولید آلاینده‌ها به نحو چشم‌گیری کاهش می‌یابد. برای شبیه‌سازی نیروگاه از نرم افزار (Steam Pro) و برای تحلیل CPEA از نرم افزار Aspen Pinch Thermoflow استفاده شده است.

واژه‌های کلیدی: تحلیل ترکیبی پینچ و اگزرزی، بهینه‌سازی، نیروگاه بخار، آلاینده‌ها.

۱- استادیار، بخش علوم حرارتی و سیستم‌های انرژی، گروه مهندسی مکانیک، دانشکده فنی و مهندسی، دانشگاه قم، قم، ایران^{*} (مسؤل مکاتبات)
2- Combined pinch and Exergy Analysis (CPEA)

Application of Combined Pinch and Exergy Analysis for Energy and Emissions Optimization of Steam Power Plants

Mohammad Hasan Khoshgoftar Manesh^{1*}

m.khoshgoftar@qom.ac.ir

Admission Date:January 10, 2018

Date Received: April 5, 2017

Abstract

Background and Objective: The ability of Pinch Technology is related to design and analysis of processes; however, it can't be used individually for heat and power system. In the other words, exergy analysis can apply for evaluation of heat and power systems. It can determine unavoidable parts of energy systems and specify the maximum potential of optimization.

Method: The main limitation of exergy analysis is the lake of general and clear method for design of system. The combined pinch and exergy analysis that using the advantages of both methods satisfy the limitations. In this paper, the RAMIN Ahvaz thermal power plant as a case study is defined. Furthermore, using CPEA the potential of optimization has been determined and evaluated.

Findings: Three proposed modification scenarios have been used for optimization of Power Plant as follows: 1. approaching pinch temperatures 2. Increasing steam in boiler and 3. Decreasing pressure of condenser.

Discussion and Conclusion: With employing both methods the efficiency of power plant has been increased by 1.7%. In addition, the fuel consumption is about 1569 m³/h and flue gases have been reduced by 1.7% (20t/h). So, the emissions have been reduced by 1.7%. The Thermoflow (Steam Pro) software has been applied for simulation of case study. In addition, Aspen Pinch Software has been employed for CPEA.

Keywords: Combined Pinch & Exergy Analysis, Optimization, Steam Power Plant, Emission.

1- Assistant Professor, Division of Thermal Sciences & Energy Systems, Department of Mechanical Engineering, Faculty of Technology & Engineering, University of Qom, Qom, Iran

مقدمه

به راحتی قابل مشاهده است. مساحت محصور بین خطوط جریان‌های سرد و گرم میزان اتلافات اگزرژی ناشی از انتقال حرارت بین جریان‌های سرد و گرم را نشان می‌دهد، در ادامه با معرفی نیروگاه مورد مطالعه نحوه استفاده از این نمودارها و توسعه آن‌ها برای تشریح دقیق مشخصه‌های ترمودینامیکی نیروگاه توضیح داده خواهد شد (۴). لینهف و دهل^۵ (۱۹۹۱) از آنالیز ترکیبی پینچ و اگسرژی برای تحلیل سیستم‌های خنک‌کاری دما پایین استفاده کردند. آن‌ها با استفاده از این روش، کار محوری مورد نیاز را $3/831$ مگاوات کاهش دادند. همچنین این دو نفر (۱۹۹۵) روش ترکیبی پینچ و اگسرژی را برای طراحی یک سیکل بسته توربین گازی مورد بررسی قرار دادند (۶). ژنگ و دهل^۶ (۱۹۹۵) تحلیل توسعه یافته ترکیبی پینچ و اگسرژی را در مورد سیکل ترکیبی توربین بخار و توربین گازی سیکل بسته اعمال کردند و به افزایش بازده سیکل در حدود $0/82$ درصد دست پیدا کردند. همچنین ژنگ و دهل (۱۹۹۵)، (۶)، (۷) از این روش برای تحلیل و بهبود راندمان چند نمونه نیروگاه‌های حرارتی دیگر استفاده کردند. همچنین ژنگ و دهل (۱۹۹۶) رویکردی مفهومی برای طراحی نیروگاه‌های حرارتی ارایه نمودند (۷). فاورات و استاین^۷ (۱۹۹۶) تکنولوژی پینچ را با استفاده از فاکتورهای اگزرژی توسعه دادند و از آن در تحلیل سیستم‌های تولید همزمان و پمپ‌های حرارتی استفاده نمودند. لاواریک و همکاران^۸ (۲۰۰۳) به کمک تکنولوژی پینچ کاهش تولید آنتروپی را در یک فرآیند تولید متابول مورد بررسی قرار دادند. مانین و ژو^۹ (۱۹۹۸) (۱۰)، (۱۱) بررسی‌های اقتصادی را همراه با آنالیز ترکیبی پینچ و اگسرژی در مورد یک سیکل ترکیبی تولید توان اعمال کردند. نتیجه بهینه‌سازی آن‌ها افزایش بازده سیکل مورد مطالعه از $45/02$ درصد تا $49/85$ درصد با در نظر

آنالیز اگزرژی بر پایه قانون اول و دوم ترمودینامیک این امکان را فراهم می‌آورد که روش مطلوب تحلیل سیستم‌های انرژی و همچنین شناخت واضح سطوح انرژی و فرایندهای نامطلوب ترمودینامیکی یک سیستم مشخص گردد. آنالیز اگزرژی شامل دو مرحله اساسی می‌باشد: مرحله اول، شناسایی و بررسی فرایندهای نامطلوب ترمودینامیکی سیستم بر پایه تعیین اتلافات اگزرژی، مرحله دوم، تعیین بیشترین اصلاحات ممکن در سیستم بر پایه مقایم اگزرژی اجتناب‌ناپذیر و اگزرژی اجتناب ناپذیر (۱). در ادامه تکنولوژی پینچ می‌تواند اطلاعات سیستم را به صورت دیاگرام‌های ساده، نمودار ترکیبی^۱، و نمودار ترکیبی جامع^۲، نمایش دهد (۲). نمودار CC میزان انرژی خارجی مورد نیاز (بار حرارتی) و هزینه سرمایه‌گذاری را هدف گذاری می‌کند و از نمودار GCC برای انتخاب مناسب، تعیین میزان و دمای مناسب بار حرارتی استفاده می‌شود. در نمودارهای GCC,CC محور افقی آنتالپی و محور عمودی دما می‌باشد. تکنولوژی پینچ با استفاده از مفهوم انتگراسیون فرایند و هدف گذاری قبل از طراحی، یک نمای کلی ترمودینامیکی از جریان‌های درون فرایند را ارایه می‌دهد (۳). با استفاده از CPEA مفهوم آنالیز اگزرژی در تکنولوژی پینچ، روش جدید توسعة داده شده است. ابزارهای پایه که در CPEA به کار می‌روند و اهمیت زیادی دارند عبارتند از: نمودار ترکیبی اگزرژی^۳، و نمودار دوم و مهم دیگر نمودار ترکیبی جامع اگزرژی^۴ است. در این نمودار محور عمودی ضربی کارنو و محور افقی آنتالپی می‌باشد. نمودارهای EGCC,ECC تغییرات در شرایط اجزا و تاثیر این تغییرات را بر روی کل سیستم، به ECC,EGCC صورت گرافیکی نمایش می‌دهند. نمودارهای هنوز توانایی نمودارهای GCC,CC در تشریح تاثیرات متقابل بین اجزا مختلف سیستم را دارا می‌باشند و تاثیر هر تغییری در EGCC,ECC اجزا سیستم بر روی کل سیستم در نمودارهای

5- Linnhoff & Dhole
6- Zheng & Dhole
7- Favrat & Staine
8- Vasile Lavric
9- Manninen & Zhu

1- Composite Curve(CC)
2- Grand Composite Curve(GCC)
3- Exergy Composite Curve(EGCC)
4- Composite Curve (EGCC)

معرفی نیروگاه مورد مطالعه

شکل ۱ مدل شبیه‌سازی شده نیروگاه رامین اهواز رانشان می‌دهد که به عنوان نیروگاه مورد مطالعه انتخاب شده است. سیکل نیروگاه رامین اهواز سیکل توربین بخار می‌باشد. این نیروگاه شامل یک واحد بازگرمایش با هشت مرحله زیرکش از توربین می‌باشد. این هشت زیرکش، بخار مورد نیاز برای پیش-گرم کردن آب تغذیه را فراهم می‌آورند. هشت مرحله پیش‌گرم کردن آب تغذیه شامل یک هوازدا، چهار عدد پیش‌گرم کن فشار ضعیف، یک عدد پیش‌گرم کن فشار متوسط و دو عدد پیش‌گرم کن فشار قوی می‌باشد. سوخت اصلی نیروگاه، نفت کوره می‌باشد. شبیه‌سازی نیروگاه رامین اهواز با استفاده از نرم افزار Thermoflow (Steam Pro) 13.0 تخصصی در زمینه شبیه‌سازی نیروگاه‌ها می‌باشد، صورت گرفته است. اطلاعات و مشخصات اصلی نیروگاه شبیه‌سازی شده در جدول ۱ آمده است. نوع بویلر، نوع و چیدمان شبکه توربین‌های بخار و هم‌چنین شبکه مبدل‌های حرارتی و کندانسور مربوطه به عنوان ورودی تجهیزات در نرم افزار Steam Pro وارد می‌شود. همچنین شرایط آب و هوایی، نوع سوخت و میزان توان به عنوان ورودی به نرم افزار داده شده است.

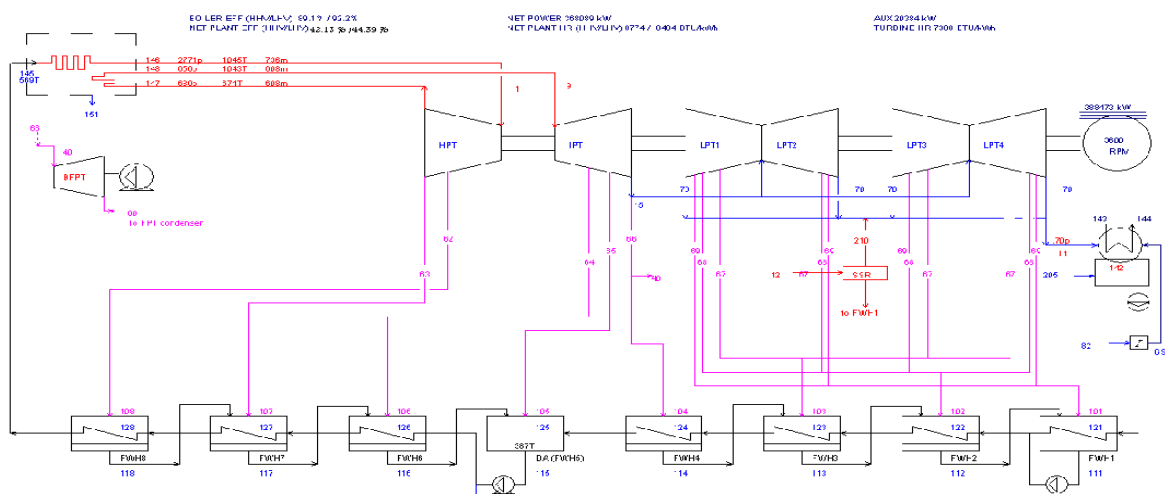
گرفتن ملاحظات اقتصادی بود. سورین و پاریس^۱ (۱۹۹۹) از آنالیز ترکیبی پینج و اگسرژی جهت مطالعه و شناسائی پتانسیل‌های بهینه‌سازی در یک واحد تولید هیدروژن استفاده کردند و توانستند بازده واحد را از ۵۵/۷ درصد تا ۵۶/۶ درصد افزایش دهند. آن‌ها نشان دادند که آنالیز اگزرژی با کمک پینج می‌تواند تغییرات مطلوب را با کمترین تغییر در فرآیند، کمترین اصلاح تجهیزات و با حجم محاسبات کمتر پیدا کند. آناتارمن و گاندرشن^۲ (۲۰۰۶) با استفاده از ترکیب آنالیز اگزرژی و پینج یک واحد متابول را بررسی و فرصت‌های بهینه‌سازی آن را شناسایی کردند. آن‌ها در این پژوهش رویکردی جدید برای بررسی واحدهای فرآیندی با استفاده از روش توسعه یافته پینج و اگسرژی ارایه نمودند. گاندرشن و همکاران (۲۰۰۷)^۳ (۱۵) تحلیل توسعه یافته پینج-اگسرژی با درنظر گرفتن اگسرژی فشاری برای طراحی بهینه سیستم‌های تبرید پیشنهاد دادند. در این روش قواعد ابتکاری و مفهوم جدیدی از پینج بهمنظور بهینه‌سازی ارایه شده است. خوشگفتارمنش و همکاران (۲۰۰۷)^۴ (۱۶) با ارایه ضرایب ECDL و EDL تحلیل ترمواکونمیک را به صورت شماتیک به منظور بررسی عملکرد یک نیروگاه اتمی ۱۰۰۰ مگاواتی نمایش داده‌اند. هم‌چنین در این مقاله ضرایبی جدید بهمنظور ترسیم نمودارهای ترکیبی پینج و اگسرژی ارایه گردید. اتابی و یو^۵ (۲۰۱۰) (۱۷) به کمک تحلیل ترکیبی پینج و اگسرژی یک نیروگاه ۳۲۰ مگاواتی را تحلیل و بهینه‌سازی نمودند. قناد زاده صادق زاده^۶ (۲۰۱۷) (۱۹۰۱۸) از تکنیک پینج و اگسرژی بهمنظور بهبود راندمان و کاهش آلاینده‌ها در فرآیند تولید اکسید اتیلن استفاده کردند.

1- Sorin & Paris

2- Anantharaman & Gundersen

3- Ataei & You

4- Ghanadzadeh & Sadeghzadeh

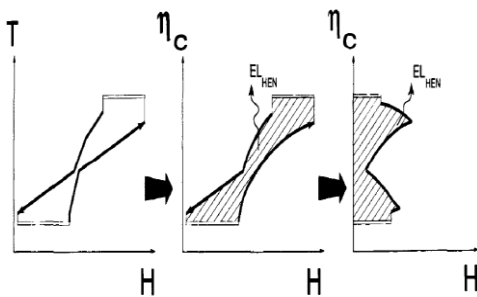


شکل ۱- شماتیک سیکل نیروگاه مشابه با رامین اهواز شبیه سازی شده در محیط Thermoflow

جدول ۱- مشخصات اصلی نیروگاه شبیه‌سازی شده

پارامتر	طاولات نیروگاه	نتایج شبیه سازی
توان خالص خروجی	۳۱۵ MW	۳۱۵ MW
دماهی بخار سوپر هیت شده	۵۶۰ C	۵۶۰ C
فشار بخار سوپر هیت شده	۱۷۸/۵ bar	۱۷۸/۵ bar
دبی بخار سوپر هیت شده	۳۱۵/۱ kg/s	۳۱۵/۱ kg/s
تعداد بازگرمایش بخار	۱	۱
تعداد پیش گرم کن‌ها (با دیاراتور)	۸	۸
فشار کندانسسور	۰/۰۵ bar	۰/۰۵ bar
اختلاف دماهی اولیه پیش گرم کن‌ها	۵/۶ C	۵/۶ C
افت فشار در زیرکش‌ها	۰/۰۵ %	۰/۰۵ %
افت فشار در زیرکش به دیاراتور	۰/۰۸۵۱ %	۰/۰۸۵۱ %
افت فشار در بازگرمایش	۹/۹ %	۹/۹ %
صرف سوخت	۱۴/۹ kg/s	۱۴/۹ kg/s
بازده آیزونتروپیک توربین فشار قوی ۱	۸۱ %	۸۱ %
بازده آیزونتروپیک توربین فشار قوی ۲	۸۸ %	۸۸ %
بازده آیزونتروپیک توربین فشار متوسط ۱	۸۶ %	۸۶ %
بازده آیزونتروپیک توربین فشار متوسط ۲	۸۷ %	۸۷ %
بازده آیزونتروپیک توربین فشار ضعیف ۱	۸۸ %	۸۸ %
بازده آیزونتروپیک توربین فشار ضعیف ۲	۸۹ %	۸۹ %
بازده آیزونتروپیک توربین فشار ضعیف ۳	۸۷ %	۸۷ %
بازده آیزونتروپیک توربین فشار ضعیف ۴	۸۷ %	۸۷ %
بازده آیزونتروپیک توربین فشار ضعیف ۵	۸۷ %	۸۷ %

دما رسم می‌شود. انرژی‌های بررسی شده در دو نمودار CC و GCC فقط بارهای حرارتی هستند. این نمودارها نمی‌توانند برای تحلیل نیروگاههای حرارتی استفاده شود. برای بحث درباره سیستم‌هایی که حرارت و توان را در برمی‌گیرند، مفاهیم CC و GCC بسط داده می‌شوند. همان‌طور که در شکل ۲ نشان داده شده، منحنی CC برای یک سیستم انتقال حرارت به منحنی EGCC و ECC تبدیل شده است.



شکل ۲- انتقال اگزرسی از CC به ECC و EGCC (۲)

Figure 2. Exergy transfer from CC to ECC and EGCC (2)

سطح هاشور خورده اتلاف اگزرسی فرآیند انتقال حرارت را نشان می‌دهد. با ترکیب تحلیل پینچ و اگزرسی، پیش‌بینی کار محوری تولیدی برای سیستم‌های توان با دقت خوبی ممکن می‌شود. این روش ترکیبی به منظور هدف‌گذاری کار محوری توسعه داده می‌شود. این روش فقط تحلیل فرآیندهای انتقال حرارت که روی نمودار η -H ترسیم می‌شوند در برمی‌گیرد و فرآیندهایی که با تغییرات فشار یا ترکیب همراه است توسط این روش قابل تحلیل نیست. به عبارت دیگر نمودار η -H- فرآیندهای اصلی نیروگاه مانند توربین و کمپرسور را نمی‌تواند تحلیل کند. جهت بر طرف کردن این محدودیت، تحلیل ترکیبی پینچ و اگزرسی با مطرح کردن نمودار جدیدی با نام η -H توسعه یافته معرفی می‌شود. این روش تمام سیستم را در برگرفته و اطلاعات هدف‌گذاری برای اصلاحات را فراهم می‌نماید. ضمن این که جهت‌های اصلی و اصلاحات و بهبود بخش احتمالی جهت توسعه سیستم به طور موثری مشخص می‌شود. برای به دست آوردن پتانسیل حداکثر صرفه‌جویی که برای هر اصلاحی قابل محاسبه است، اتلافات اگزرسی به دو قسمت اجتناب‌پذیر و قابل جلوگیری تقسیم می‌شوند. اتلافات اگزرسی

سوخت منبع اولیه اگزرسی در نیروگاه بخار بوده که پس از احتراق در کوره، اگزرسی شیمیایی سوخت آزاد می‌شود. قسمتی از این اگزرسی اولیه، به علت ناقص بودن فرایند احتراق، پیش-گرم کن هوا و اتلافات دودکش تلف می‌شود. اگزرسی باقی‌مانده به سیکل بخار داده می‌شود، مقداری از این اگزرسی نیز حین فرایند انتقال حرارت بین محصولات احتراق و بخار تلف می‌گردد. در درون سیکل بخار، سیستم پیش‌گرم کن‌های آب تغذیه که وظیفه بالا بردن دمای آب تغذیه ورودی به بویلر با استفاده از بخار زیرکش شده از توربین‌ها را بر عهده دارد نیز مقداری اگزرسی را حین انتقال حرارت تلف می‌کند. در کندانسور نیز به علت تبادل حرارت با یک منبع خارجی مقداری اتلافات اگزرسی داریم (۵). کوره، سیستم پیش‌گرم کن‌ها و کندانسور، شبکه مبدل‌های حرارتی^۱ نیروگاه بخار را تشکیل می‌دهند. باقی‌مانده اگزرسی داده شده به سیکل پس از اتلاف اگزرسی در HEN تحويل سیستم توربین برای تولید توان می‌گردد. بر طبق رابطه ۱ مصرف سوخت، HEN و سیستم توربین به هم مربوط می‌گردند و تغییر در هر کدام باعث تغییر در دودوتای دیگر می‌شود (۳).

$$\Delta EX_{FUEL} = EX_{Poewr} + \sigma T_{OHEN} \quad (1)$$

$$\sigma T_{OHEN} = \sigma T_{OF} + \sigma T_{OP} + \sigma T_{OC} \quad (2)$$

ΔEX_{FUEL} اگزرسی سوخت، ΔEX_{FUEL} اگزرسی تحويلی به سیستم توربین، σT_{OHEN} اتلافات اگزرسی در HEN σT_{OP} اتلافات اگزرسی در کوره، σT_{OF} اتلافات اگزرسی در کندانسور برای پیش‌گرم کن‌ها، σT_{OC} اتلافات اگزرسی در کندانسور رسانید به تشریح ترمودینامیکی نیروگاه و تعیین تاثیرات بین این سه قسمت اصلی بر روی هم‌دیگر یک نمودار جدید به نام نمودار ترکیبی پینچ و اگزرسی، معرفی می‌گردد. این نمودار در بخش بعدی مورد بررسی بیشتر قرار خواهد گرفت.

روش بررسی

تحلیل پینچ روش عامی برای هدف‌گذاری و طراحی فرآیندهای شیمیایی و حرارتی می‌باشد. منحنی‌های CC و GCC دو ابزار اساسی در تحلیل پینچ می‌باشند، که در آن آنتالپی نسبت به

1- Heat Exchanger Network(HEN)

بخار جریان‌های گرم عبارتند از: جریان‌های زیرکش و بخار عبوری از کندانسور و جریان‌های سرد عبارتند از: جریان‌های آب تغذیه که نیاز به گرم شدن دارند و بخار عبوری از ری‌هیتر می‌باشند. اطلاعات جریان‌های گرم و سرد نیروگاه مورد مطالعه شامل دماهی ورودی و خروجی به همراه تغییرات آنتالپی آن‌ها در جدول ۲ آمده است. با توجه به این‌که بار حرارتی گرم خارجی مورد نیاز سیکل برابر 817525 کیلووات است کمترین اختلاف دمای مجاز محاسبه شده برای سیستم برابر $3/23$ درجه سانتی‌گراد می‌باشد. با دردست داشتن اطلاعات جریان‌ها و کمترین اختلاف دمای مجاز، نمودارهای GCC,CC نیروگاه رسم می‌شود که به ترتیب در شکل‌های ۳ و ۴ نشان داده شده است. میزان بار حرارتی گرم و سرد مورد نیاز در شکل‌های ۳ و ۴ مشخص است.

اجتناب‌ناپذیر به عنوان حداقل اتلاف اگسربزی که نمی‌توان با در نظر گرفتن محدودیت‌های تکنیکی و اقتصادی از آن در یک فرآیند جلوگیری به عمل آورده تعريف می‌شود. اتلاف قابل جلوگیری حداکثر پتانسیل عملی برای توسعه فرآیند را ارایه می‌دهد. با کمک این روش سیستم تحلیل شده و دلایل عدمه معايب آن مشخص می‌شود. سپس اصلاحات احتمالی و حداکثر پتانسیل عملی این اصلاحات با تحلیل اتلافات قابل جلوگیری به وجود آمده در تجهیزات و فرآیندهای مختلف به دست می‌آید (۲۰۱۵).

یافته‌ها

CPER نیروگاه مورد مطالعه

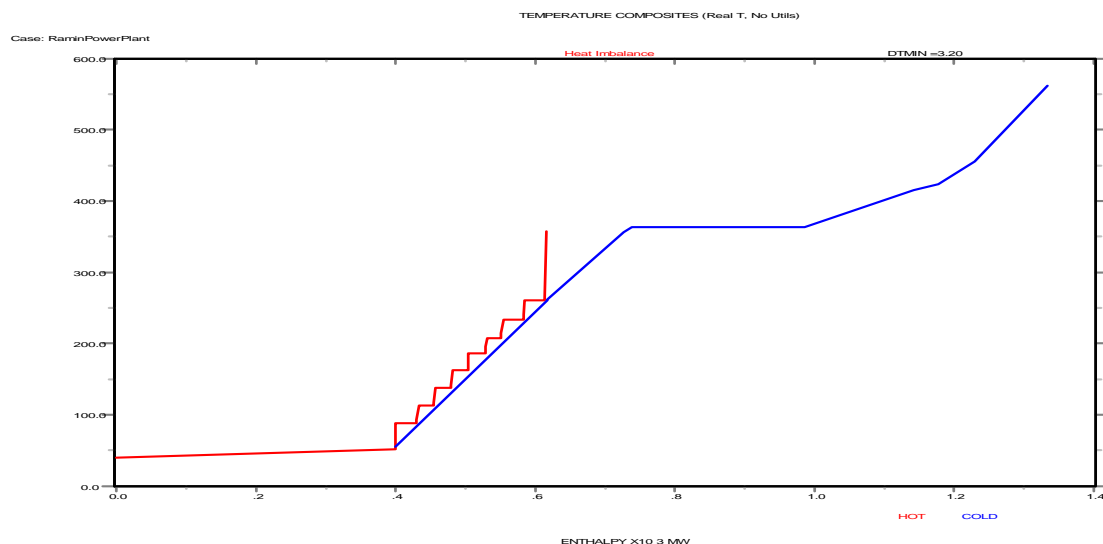
برای رسم CPER نیروگاه مورد مطالعه، اطلاعات پایه برای جریان‌های سرد و گرم نیروگاه استخراج می‌گردد. در سیکل

جدول ۲- جریان‌های گرم و سرد نیروگاه مورد مطالعه

Table 2. Hot and cold stream related to Power Plant study

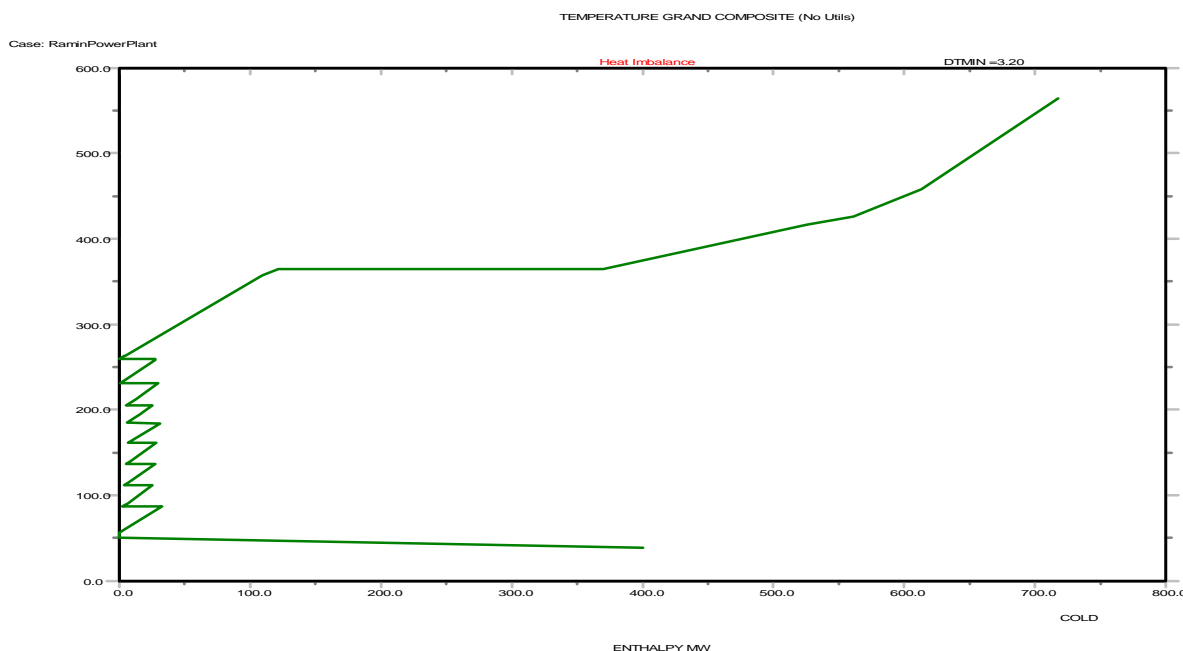
Tsupp (C)	Ttarg (C)	Duty (Kw)	نام جریان
۳۹۵/۱۶	۲۸۱/۳۸	۹۴۹۱/۳۱۴	Stream ۱
۲۸۱/۳۸	۲۸۰/۳۸	۳۸۵۲۳/۹۸	Stream ۲
۲۸۰/۳۸	۱۶۳/۲۴	۱۳۸۳۲/۹۱	Stream ۳
۳۲۱/۹۴	۲۷۴/۶۵	۶۸۶۹/۳۱۳	Stream ۴
۲۴۷/۶۵	۲۴۶/۶۵	۵۲۳۱۸/۱	Stream ۵
۲۴۶/۶۵	۱۶۳/۲۴	۱۱۶۰۴/۲۹	Stream ۶
۴۱۵/۳۸	۱۹۶/۲	۶۳۵۶/۸۳۹	Stream ۷
۱۹۶/۲	۱۹۵/۲	۲۴۷۲۹/۴۱	Stream ۸
۱۹۵/۲	۱۶۳/۲۴	۱۸۳۷/۹۷۹	Stream ۹
۳۲۳/۶۵	۱۶۳/۲۴	۴۰۳۲/۱۵۶	Stream ۱۰
۱۶۳/۲۴	۱۶۲/۲۴	۲۳۸۷۴/۴۸	Stream ۱۱
۲۴۴/۳۹	۱۳۸/۴	۲۳۱۳/۶۱	Stream ۱۲
۱۳۸/۴	۱۳۷/۴	۲۲۱۹۷/۱	Stream ۱۳
۱۳۷/۴	۳۳/۱	۴۵۷۸/۲۵۶	Stream ۱۴
۱۶۴/۹۳	۱۱۲/۵	۱۰۸۱/۹۱۲	Stream ۱۵
۱۱۲/۵	۱۱۱/۵	۲۲۴۵۲/۳	Stream ۱۶
۱۱۱/۵	۳۳/۱	۳۳۶۶/۲۳	Stream ۱۷

۸۷/۳۸	۸۶/۳۸	۲۱۱۱۳/۴۵	Stream ۱۸
۸۶/۳۸	۳۳/۱	۲۰۴۹/۳۹۲	Stream ۱۹
۶۱/۰۴	۶۰/۰۴	۱۹۵۲۲/۶۲	Stream ۲۰
۶۰/۰۴	۳۳/۱	۱۰۱۰/۷۵۳	Stream ۲۱
۳۳/۱	۱۶۳/۲۴	۱۲۹۵۸۲/۳	Stream ۲۲
۱۶۶/۹۴	۲۸۰/۴۷	۱۶۲۹۳۵/۱	Stream ۲۳
۲۸۰/۴۷	۳۵۶/۳	۱۵۵۸۰۴/۳	Stream ۲۴
۳۵۶/۳	۳۵۷/۳	۲۴۹۳۹۸/۵	Stream ۲۵
۳۷۵/۳	۵۳۸	۲۷۷۲۲۲۱/۲	Stream ۲۶
۳۲۳/۲	۵۳۸	۱۳۱۹۴۰/۶	Stream ۲۷
۳۴/۱	۳۳/۱	۴۳۳۷۵۰/۲	Stream ۲۸



شکل ۳- نمودار CC نیروگاه رامین اهواز در حالت مبنا

Figure 3. CC curve of RAMIN Power Plant in base case



شکل ۴- نمودار GCC نیروگاه رامین اهواز در حالت مبنا

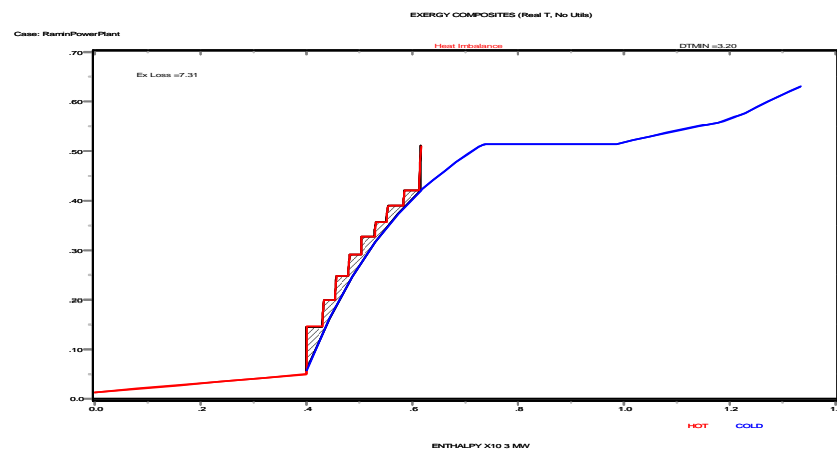
Figure 4. GCC curve of RAMIN Power Plant in base case

جريان‌های حرارتی و نیروهای محرکه دما را نشان می‌دهد، علاوه بر آن جريان‌های اگزرژی و کار محوری را نیز مشخص می‌کند. نمودار جدید، CPER نامیده می‌شود. نمودار CPER نیروگاه مورد مطالعه در شکل ۷ نشان داده شده است، سطح کل هاشور خورده در شکل ۷ اگزرژی سوخت را توسط هاشور خورده مورب اتلاف کل اگزرژی در شبکه مبدل‌های حرارتی را نشان می‌دهد و سطح هاشورخورده عمودی اگزرژی رسیده به سیستم توربین توسط بخار برای تولید توان را نشان می‌دهد. همان‌گونه که در شکل مشخص است اگر تغییری در مصرف سوخت اتفاق بیافتد اتلافات اگزرژی در HEN و اگزرژی رسیده به سیستم توربین EX_Power شاهد تغییرات خواهیم بود. بنابراین انتگراسیون ترمودینامیکی بین مصرف سوخت، HEN و سیستم توربین در یک نمودار نشان داده می‌شود. در CPER می‌توان تاثیرات متقابل بین اجزا مختلف نیروگاه را نشان داده و یک نمای مفهومی از نیروگاه به دست می‌آید.

با استفاده از نمودارهای GCC,CC می‌توانیم نمودارهای EGCC,ECC در حالت مبنا را نشان می‌دهد. در شکل ۵ سطح هاشور خورده اتلافات اگزرژی ناشی از انتقال حرارت در پیش‌گرم‌کن‌های آب تغذیه را نشان می‌دهد که برابر 5560 کیلووات می‌باشد. شکل ۶، نمودار EGCC نیروگاه در حالت مبنا را نشان می‌دهد. در شکل ۶ سطح هاشورخورده، اگزرژی که توسط بخار سوپرهیت‌شده تحويل سیستم توربین می‌شود را مشخص می‌کند، که برابر 510 کیلووات می‌باشد. ولی این نمودارها نحوه رسیدن اگزرژی سوخت و توزیع کامل اگزرژی در درون سیستم را نشان نمی‌دهند پس به توسعه این نمودارها می‌پردازیم. با حرارتی گرم مورد استفاده در نیروگاه محصولات احتراق و با حرارتی سرد مورد استفاده در نیروگاه، آب خنک-کن می‌باشد. با وارد کردن نمودار ترکیبی اگزرژی محصولات احتراق^۱ و همچنین نمودار ترکیبی اگزرژی آب خنک کن^۲ در نمودار EGCC به یک نمودار جدید می‌رسیم که نه تنها

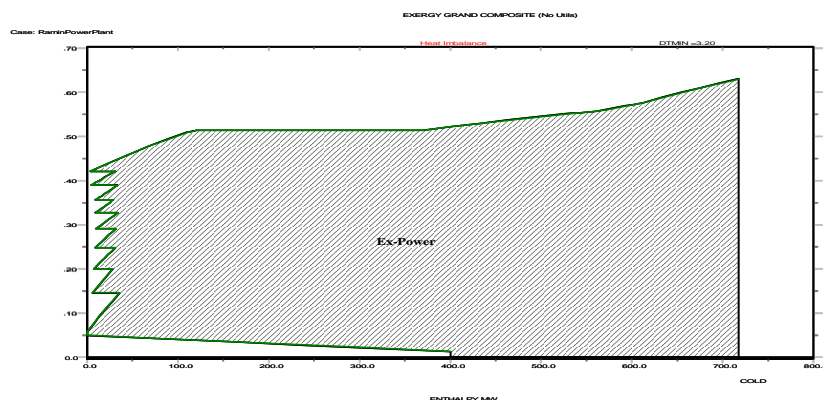
1- Flue Gas Exergy Composite Curve(FGECC)

2- Cooling Water Exergy Composite Curve(CWECC)



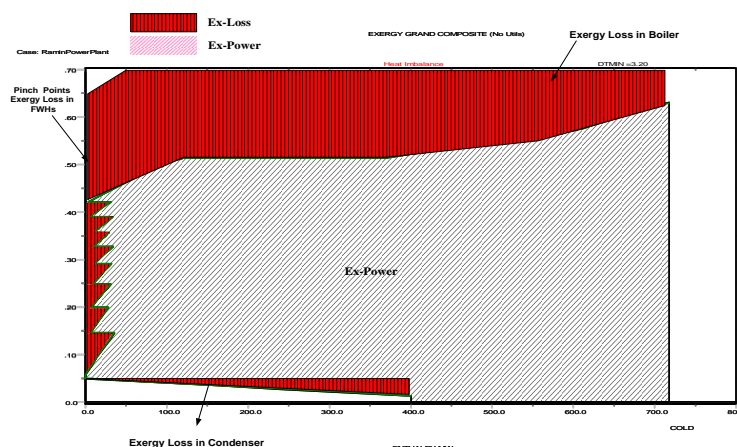
شکل ۵- نمودار ترکیبی اگزرزی در حالت مبنا

Figure 5. Exergy Composite Curve in base case



شکل ۶- نمودار ترکیبی جامع اگزرزی نیروگاه در حالت مبنا

Figure 6. Exergy Composite Curve in base case



شکل ۷- نمودار ترکیبی پینچ- اگزرزی نیروگاه در حالت مبنا

Figure 7. Combined Pinch- Exergy Composite Curve of Power Plant in base case

می پردازیم. شکل ۹ نمای بزرگ شده سیستم پیش گرم کن ها در CPER (شکل ۸) را نشان می دهد. با توجه به شکل ۹ مشاهده می شود که کمترین اختلاف دمای مجاز که $3/32$ درجه سانتی- گراد می باشد، فقط در نقطه A رخ می دهد و سیستم تنها در یک نقطه پینچ دارد. از آنجا که در دمای چگالش هر زیرکش بخار، امکان ایجاد پینچ دیگری وجود دارد، می توان گفت که نیروهای محرکه دما در این سیستم توزیع یکنواختی ندارند. طبق اصول ترمودینامیک، کاهش نیروی محرکه حین فرایند انتقال حرارت، یکی از عوامل کاهش بازگشت ناپذیری می باشد. بنابراین در صورت کاهش نیروهای محرکه در دیگر پله های چگالش و رساندن آن به میزان کمترین اختلاف دمای مجاز موجود در سیستم، راندمان حرارتی نیروگاه بهبود می باید که دلیل آن کاهش بار حرارتی گرم مورد نیاز نیروگاه می باشد. برای نزدیک کردن تفاوت دمایی پله های چگالش دیگر، دبی زیرکش ها را باید تغییر داد. برای این کار، رابطه انرژی بین هر دو دمای اشباع نزدیک هم نوشته می شود. اتلافات کل اگزرژی به $210445/2$ کیلووات کاهش می یابد. بازده نیروگاه با افزایش $44/56$ درصدی به $21/8$ کیلوگرم در ثانیه می رسد. همچنین میزان آلاینده های ناشی از مصرف سوخت نیز به میزان $46/0$ درصد کاهش می یابد.

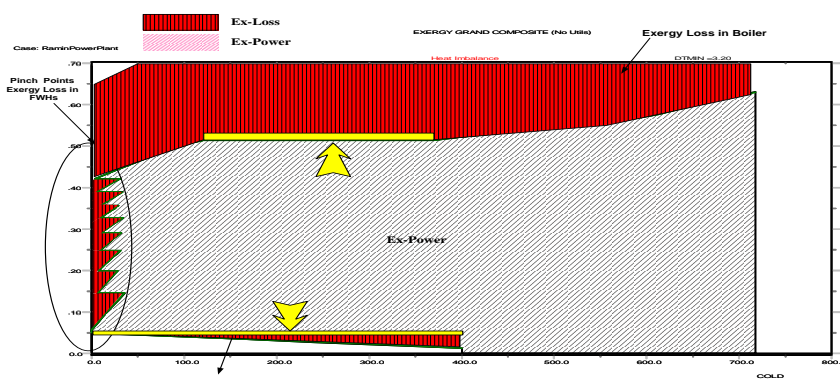
بحث و نتیجه گیری

بررسی روش های بهبود عملکرد

دوباره شکل ۷ را در نظر می گیریم، همان گونه که در شکل مشخص است، اگزرژی ورودی، اگزرژی سوخت می باشد که توسط محصولات احتراق به سیکل تحويل داده می شود. پس از تلف شدن اگزرژی در کوره، پیش گرم کن ها و کندانسور، اگزرژی باقی مانده تحويل سیستم توربین برای تولید توان می شود. اتلافات کل اگزرژی (اتلافات اگزرژی کوره + اتلافات اگزرژی پیش گرم کن ها + اتلافات اگزرژی کندانسور) حالت مبنا، 400145 کیلووات می باشد و اگزرژی تحويل شده به سیستم توربین برای تولید توان (Ex-Process) در حالت مبنا برابر 418000 کیلووات می باشد. در شکل ۷ سطح هاشور زده عمودی نشان دهنده کل اتلافات اگزرژی و سطح هاشور زده عمودی نشان دهنده اگزرژی تحويلی به سیستم توربین می باشد. با توجه به شکل ۷ هر گونه کاهش در اتلافات اگزرژی کوره، پیش گرم کن ها و کندانسور، باعث افزایش توان خروجی و کاهش مصرف سوخت خواهد شد. بازده حرارتی نیروگاه در حالت مبنا $44/39$ درصد و مصرف سوخت $21/9$ کیلووات در ثانیه می باشد. حال با استفاده از شکل ۷ راه های کاهش اتلافات اگزرژی، شناسایی و تاثیر این تغییرات بر روی کل سیستم مورد بررسی قرار می گیرد.

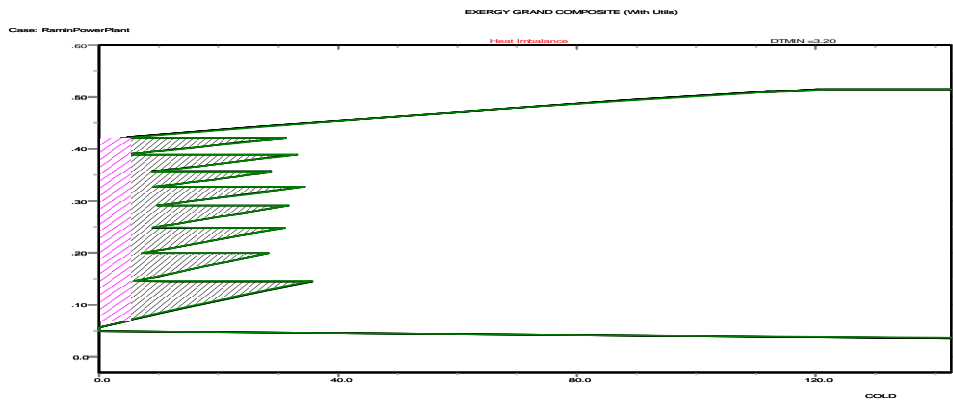
اصلاح اول: نزدیک کردن پینچ ها

برای کاهش اتلافات اگزرژی در پیش گرم کن ها، به بررسی نحوه توزیع نیروهای محرکه دما در سیستم پیش گرم کن ها (شکل ۸)



شکل ۸- تعیین اصلاحات بر روی نمودار ترکیبی پینچ و اگزرژی

Figure 8. Identification of improvement in combined pinch-exergy representation



شکل ۹- توزیع غیر یکنواخت نیروهای محركة دما در سیستم پیش گرمکن ها

Figure 9. Non uniform distribution of driving forces in feed water heaters system

اصلاح دوم: افزایش بخار در بویلر

نزدیک شده و سطح مخصوص بین این دو خط که اتلاف اگزرژی کندانسور را نشان می‌دهد، کم می‌شود. کاهش فشار کندانسور از ۵/۰۰ بار به ۴۵/۰۰ بار باعث می‌شود که اتلافات کل اگزرژی به ۲۰۴۷۴۲/۹ کیلووات برسرد. بازده سیکل با افزایش درصدی به ۱۵/۴۵ درصد می‌رسد. افزایش بازده به علت افزایش اگزرژی تحويلی به سیستم توربین می‌باشد و اگزرژی ورودی سوخت ثابت است. سطح هاشور خورده مورب اتلافات کل اگزرژی را پس از اعمال سه اصلاح ذکر شده نشان می‌دهد و ناحیه پرنگ تر اگزرژی رسیده به سیستم توربین را نشان می‌دهد که تا ۴۲۲۴۳۸ کیلووات افزایش یافته است. مقایسه اتلافات کل اگزرژی، اگزرژی رسیده به سیستم توربین، بازده و مصرف سوخت بین حالت مبنا و حالت بهینه شده در جدول ۳ آمده است.

پس از نزدیک کردن پینچ‌ها برای کاهش اتلافات اگزرژی در کوره همان‌گونه که در شکل ۸ مشخص است، می‌توان فشار آب تغذیه ورودی به کوره را افزایش داد. افزایش فشار آب تغذیه از ۱۷۸/۵ بار تا ۱۹۳/۵ بار باعث می‌شود که اتلافات کل اگزرژی تا ۲۰۶۶۷۰/۱ کیلووات کاهش یابد. بازده نیروگاه با افزایش ۰/۸۹ درصدی (نسبت به حالت مبنا) به ۴۴/۷۹ درصد می‌رسد و مصرف سوخت با کاهش ۱۱/۱۳ درصدی به ۲۱۶۷ کیلوگرم در ثانیه می‌رسد. البته امکان تغییر فشار یک بویلر موجود از نظر عملی مقدور نیست و از ابتدا بویلر می‌باشد برای فشار مورد نظر طراحی گردد. همچنین میزان تولید آلاینده‌ها نیز به میزان ۱۱/۱ درصد کاهش می‌یابد.

اصلاح سوم: کاهش فشار کندانسور

پس از اعمال اصلاحات اول و دوم، برای کاهش اتلافات اگزرژی در کندانسور، با توجه به شکل ۸ می‌توان فشار کندانسور را کاهش داد. با کاهش فشار کندانسور، خط دمای اشباع کندانسور به CWECC ۳ بار حرارتی سرد (آب خنک کن)،

جدول ۳- مقایسه بین حالت مبنا و حالت بهینه شده

Table 3. Comparison of base and optimum case

حالت بهینه شده	حالت مبنا	
۲۰۴۷۴۲/۹ kw	۲۱۲۸۱۹/۵ kw	اتلافات کل اگزرژی
۴۲۲۴۳۸ kw	۴۲۰۰۳۰/۲ kw	اگزرژی تحويلی به سیستم توربین
۴۵/۱۵٪	۴۴/۳۹٪	بازده
۱۴/۶ kg/s	۱۴/۹ kg/s	مصرف سوخت

قسمت‌های داخل نیروگاه، برای تعیین اصلاحات ممکن را فراهم می‌آورد.

Reference

1. Dincer, I. and M.A. Rosen, EXERGY: Energy, Environment and Sustainable Development. 2007: Elsevier Science.
2. X. Feng and X. X. Zho, Combining pinch and exergy analysis for process modifications, *Applied Thermal Engineering*, 17(3), 249-261, 1997.
3. Klemes, J., et al., *Sustainability in the Process Industry: Integration and Optimization: Integration and Optimization*. 2010: McGraw-Hill Education.
4. V. R. Dhole and J.P. Zheng, applying combined and exergy analysis to closed cycle gas turbine system design, 117, 47-52, 1995.
5. B. Linnhoff, V.R. Dhole, "Shaftwork targets for low temperature process design" *Chemical Engineering Science Journal*, 1991
6. V. R. Dohle, J. P. Zheng, "Applying combined pinch and exergy analysis to closed-cycle gas turbine system design", *Journal of Engineering for Gas Turbine and Power*, Vol. 117, PP. 47-52, 1995
7. J. P. Zheng, X. X. Zhu, V. R. Dhole and J. Rennie, Conceptual design of commercial power plants using the combined pinch and exergy approach. Accepted for presentation at the 5th World Congress of Chemical Engineering, San Diego, California, July 1996.
8. F. Staine, D. Favart, "Energy integration of industrial processes based on the pinch analysis method extended to include exergy factors",

به کارگیری همزمان تکنولوژی پینچ و آنالیز اگزرژی در بهینه‌سازی نیروگاه بخار نه تنها باعث افزایش بازده حرارتی نیروگاه می‌شود بلکه باعث کاهش مصرف سوخت می‌گردد. افزایش راندمان نیروگاه به میزان ۱/۷ درصد تاثیر زیادی در میزان مصرف سوخت بهازای هر کیلووات توان تولیدی دارد. به طوری که میزان ۸۰۷۶/۶ کیلووات از تلفات اگسرژی در سیستم کاهش یافته است. یعنی میزان توان تحويلی به توربین ۲۰۴۷/۸ کیلووات افزایش یافته است. لذا بهازای توان تولیدی مشخص، میزان مصرف سوخت به میزان $0.0003 \text{ کیلوگرم} / \text{بر تانیه معادل} 1/0.8 \text{ تن بر ساعت}$ کاهش می‌یابد. درنتیجه میزان گازهای خروجی نیروگاه حدود ۲۰ تن بر ساعت معادل ۴۸۰ تن در روز کاهش می‌یابد؛ لذا تولید آلینده‌ها نیز به نحو چشم‌گیری کاهش می‌یابد.

با کاهش مصرف سوخت بهازای توان مشخص هزینه عملکردی نیروگاه پایین می‌آید و همچنین آводگی حرارتی و آводگی‌های گازهای مخرب زیست محیطی کاهش می‌یابد. در این مقاله ماسعی کردیم که نشان دهیم چگونه با استفاده از یک نمودار ساده، می‌توان اصلاحات موثر را شناسایی و قبل از وارد شدن به جزئیات طراحی، آن اصلاحات را هدف‌گذاری کرد. طراحی و بهینه‌سازی سنتی نیروگاهها بر پایه تجربه مهندسی و شیوه‌سازی کامپیوتربی استوار است که هم زمان و هم تلاش فراوانی را نیاز دارد، درحالی که در آنالیز ترکیبی پینچ و اگزرژی که برای تحلیل نیروگاه به کار برده شد، از CPER که یک نمودار ساده می‌باشد استفاده شده است. در CPER قسمت‌های مختلف سیستم به صورت مجزا مشخص می‌گردد. اصلاحات ممکن به راحتی بر روی نمودار قابل تعیین است. پس از تعیین اصلاحات، CPER این توانایی را دارد که تاثیر تغییرات در قسمت‌های مختلف سیستم بر روی همدیگر و همچنین بر روی سیستم کل به‌وضوح به صورت گرافیکی نمایش دهد. بنابراین انتگراسیون ترمودینامیکی بین قسمت‌های مختلف نیروگاه در یک نمودار نشان داده می‌شود و یک نمای مفهومی از نیروگاه به دست می‌آید. CPER به مهندس، یک نگرش فیزیکی عمیق و درک مهندسی بالاتر از روابط بین

- Conference on Nuclear Engineering ICONE16 ,May 11-15, (2008), Orlando, Florida, USA.
16. T. Gundersen, D.O. Berstad and A. Aspelund. Extended pinch analysis and process integration into pressure and fluid phase consideration, Proceeding of 12th Conference of Process Integration, Modeling and Optimization for Energy saving and Pollution Reduction - PRES 2009, (2009)10-13 May Rome Italy.
 17. A. Ataei and C.K. Yoo, Combined pinch and exergy analysis for energy efficiency optimization in a steam power plant, International Journal of the Physical Sciences Vol. 5(7), pp. 1110-1123, July 2010
 18. Ghannadzadeh, A. and M. Sadeqzadeh, Combined pinch and exergy analysis of an ethylene oxide production process to boost energy efficiency toward environmental sustainability. Clean Technologies and Environmental Policy, 2017. 19(8): p. 2145-2160.
 19. Ghannadzadeh, A. and M. Sadeqzadeh, Exergy aided pinch analysis to enhance energy integration towards environmental sustainability in a chlorine-caustic soda production process. Applied Thermal Engineering, 2017. 125(Supplement C): p. 1518-1529.
 - Applied Thermal Engineering, Vol. 16, PP. 497-507, 1996
 9. V. Lavric, D. Baetens, V. Plesu, J. De Ruyck. Entropy generation reduction through chemical pinch analysis, Applied Thermal Engineering 23 (2003) 1837–1845.
 10. J. Manninen, X. X. Zhu, "Thermodynamic analysis and mathematical optimization of power plant", Computers and Chemical Engineering, Vol. 22, PP. S537-S544, 1998.
 11. J. Manninen, X. X. Zhu, Optimal flowsheeting synthesis for power station design considering overall integration, Energy 24 (1999) 451–478
 12. M. Sorin, J. Paris, " Integrated exergy load distribution method and pinch analysis", Computer & Chemical Engineering Journal, 1999
 13. R. Anantharaman, O. Abbas, T. Gundersen," Energy level composite curves- a new graphical methodology for the integration of energy intensive processes", Applied Thermal Engineering Journal, 2006.
 14. A. Aspelund, D. Berstad, T. Gundersen,"An Extended Pinch Analysis and Design procedure utilizing pressure based exergy for subambient cooling", Applied Thermal Engineering 27 (2007) 2633–2649.
 15. M. H. Khoshgoftar Manesh, M. Amidpour, M. H. Hamed, Analysis of pressurized water reactor with pinch, exergy and thermoeconomic method, Proceedings of the 16th International